

# **Modelovanie a analýza nelineárnych systémov s hybridnou dynamikou**

Bakalárska práca  
Budziňáková Dominika  
2015/2016

Vedúci práce: doc. Ing. Anna Jadlovská, PhD.  
Konzultant práce: Ing. Dominik Vošček

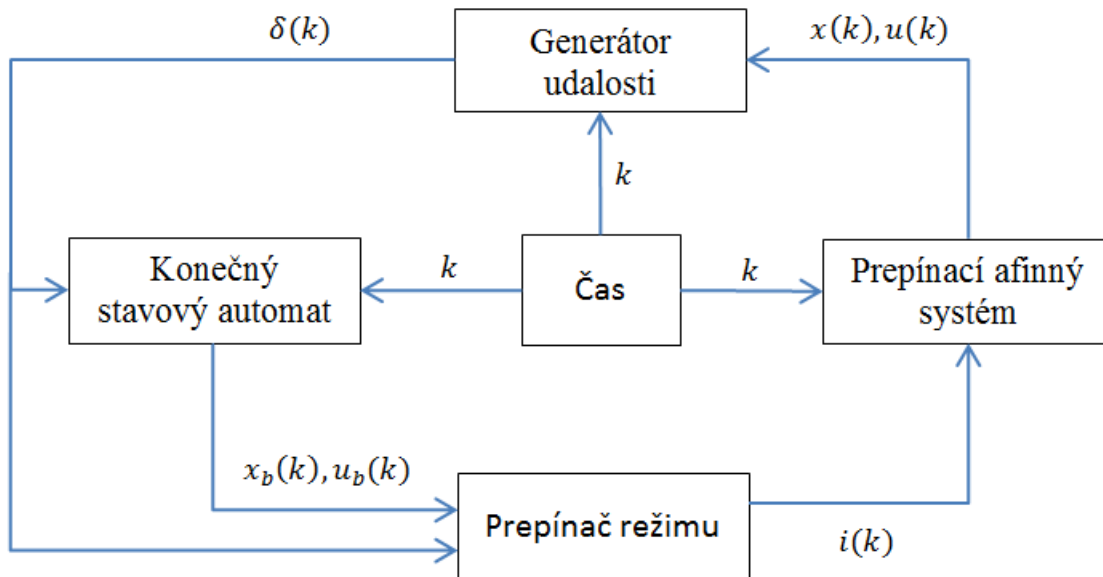
Katedra kybernetiky a umelej inteligencie

# Obsah

1. Nelineárne systémy s hybridnou dynamikou
2. Modelovanie hydraulického systému dvoch nádob s hybridnou dynamikou (HSsHD)
3. Analýza hydraulického systému dvoch nádob s hybridnou dynamikou (HSsHD)
4. Optimálne stavové riadenie hydraulického systému dvoch nádob s hybridnou dynamikou (HSsHD)
5. Získané výsledky

# 1. Nelineárne systémy s hybridnou dynamikou

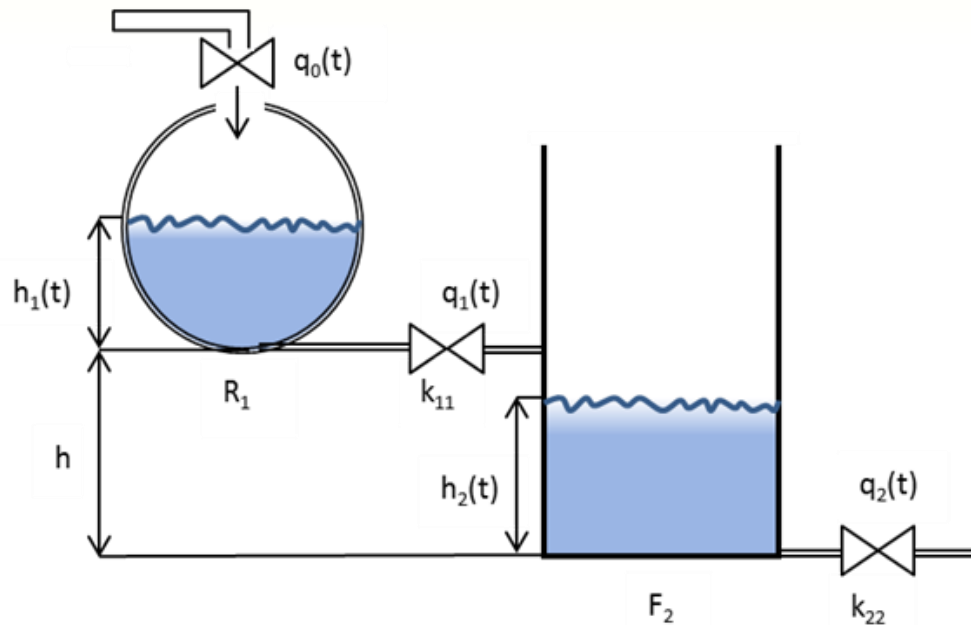
## Hybridný systém



Obr. 1 Diskrétny hybridný automat

## 2. Modelovanie hydraulického systému dvoch nádob s hybridnou dynamikou

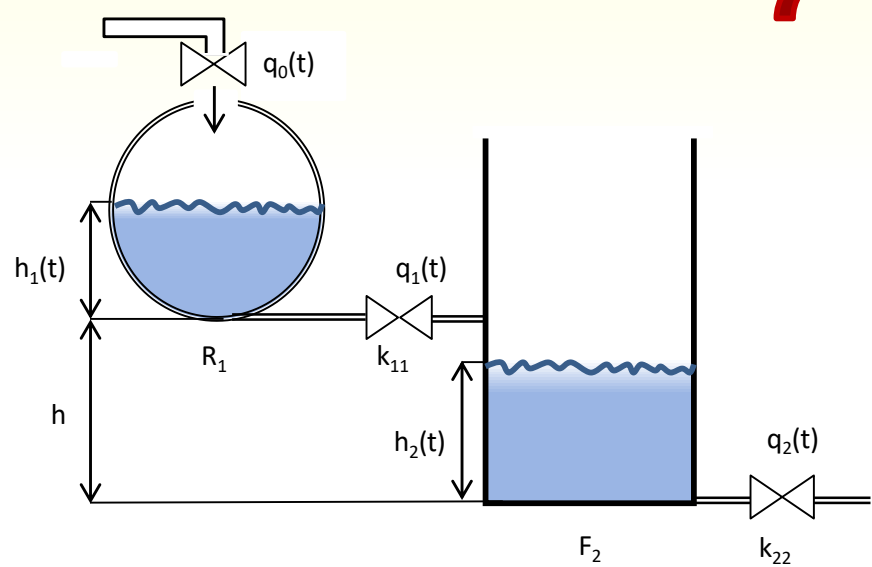
Parametre systému, Fyzikálne veličiny



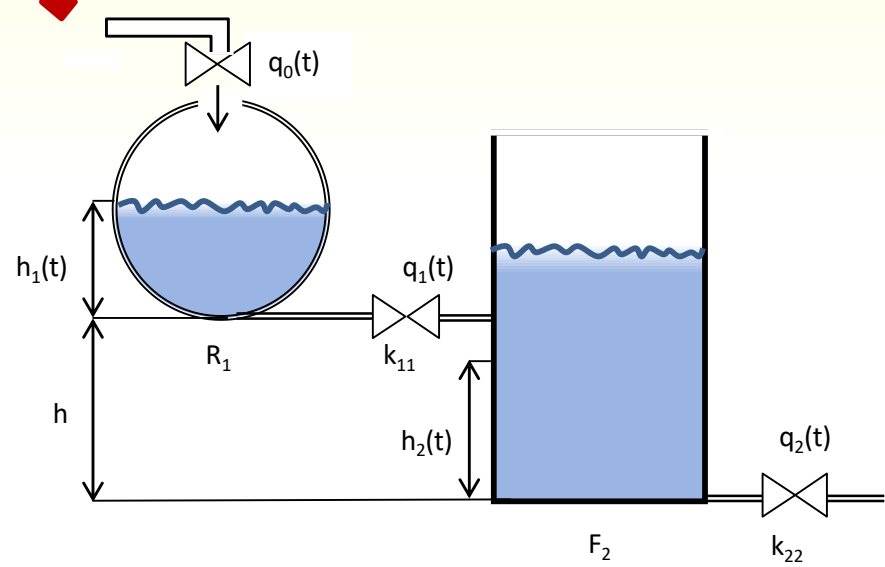
$h$	
$h_{1max}$	
$h_{2max}$	
$F_2$	$h_1(t)$
$F_1(h_1(t))$	$h_2(t)$
$R_1$	$q_0(t)$
$g$	$q_1(t)$
$\rho$	$q_2(t)$
$k_{11}$	
$k_{22}$	

Obr. 2 Hydraulický systém dvoch nádob s hybridnou dynamikou

## 2. Modelovanie hydraulického systému dvoch nádob s hybridnou dynamikou



Obr. 3 systém bez interakcie  
*dynamika A*



Obr. 4 systém s interakciou  
*dynamika B*

podmienka prenutia dynamiky :

$$h_2(t) > h$$

## 2. Modelovanie hydraulického systému dvoch nádob s hybridnou dynamikou

### Fyzikálne zákony

Zákon zachovania hmotnosti

$$\frac{d}{dt}(\rho \cdot S \cdot v) = 0,$$

kde  $\rho = \rho(t)$  je hustota kvapaliny ,  $S = S(t)$  prierez potrubia,  $v = v(t)$  rýchlosť prietoku kvapaliny

Bernoulliho rovnica

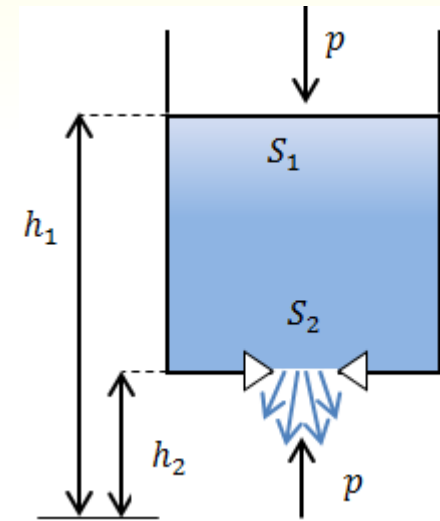
$$\frac{1}{2}\rho v_1^2 + \rho g h_1 + p = \frac{1}{2}\rho v_2^2 + \rho g h_2 + p$$

kde  $p$  – tlak v kvapaline,  $g$ - gravitačné zrýchlenie,  $\rho$  – hustota kvapaliny,  $v_1$  - rýchlosť vý toku kvapaliny pri ploche  $S_1$  ,  $v_2$  - rýchlosť vý toku kvapaliny pri ploche  $S_2$

Torricelliho vzťah

$$v = \sqrt{2gh}$$

kde  $h = h_1 - h_2$  je výška hladiny nad odtokovým ventilom



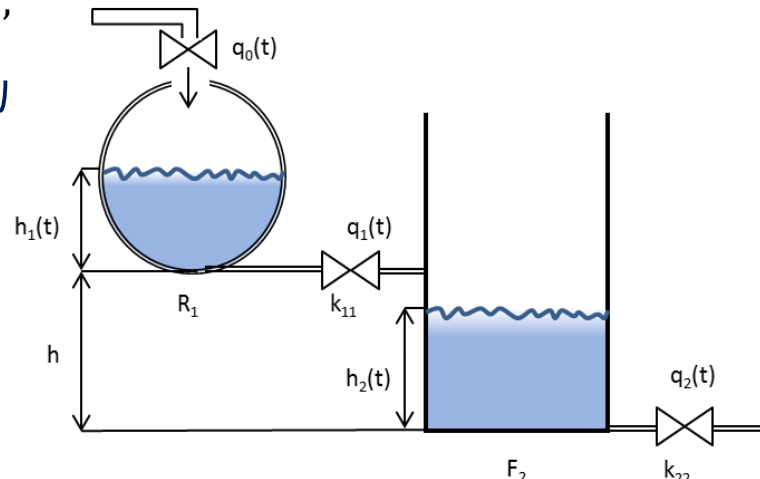
Obr. 5 Výtok kvapaliny otvorom malého prierezu

## 2. Modelovanie hydraulického systému dvoch nádob s hybridnou dynamikou

### Dynamika A – bez interakcie

$$\frac{dh_1(t)}{dt} = \underbrace{\frac{q_0(t)}{\pi(2R_1h_1(t) - h_1^2(t))} - \frac{k_{11}\sqrt{h_1(t)}}{\pi(2R_1h_1(t) - h_1^2(t))}}_{f_{1A}}$$

$$\frac{dh_2(t)}{dt} = \underbrace{\frac{k_{11}\sqrt{h_1(t)}}{F_2} - \frac{k_{22}\sqrt{h_2(t)}}{F_2}}_{f_{2A}}$$



Obr. 6 Systém – dynamika A

rovnovážny stav druhej nádoby systému pre dynamiku A :  $h_{2s1} = 1 m$

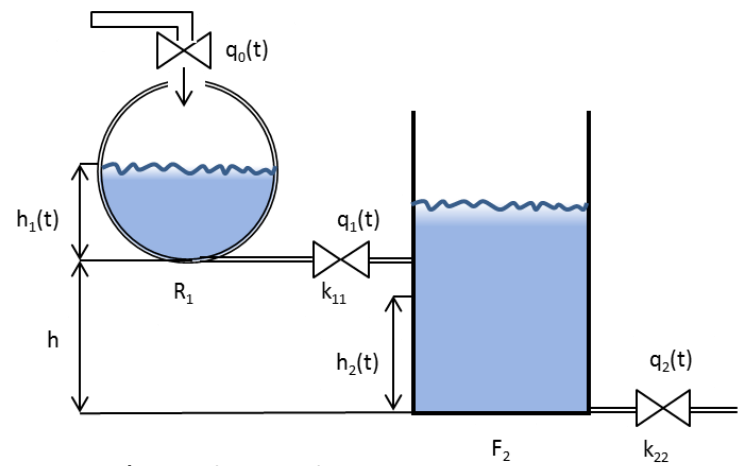
## 2. Modelovanie hydraulického systému dvoch nádob s hybridnou dynamikou

### Dynamika B – s interakciou

$$\frac{dh_1(t)}{dt} = \underbrace{\frac{q_0(t)}{\pi(2R_1 h_1(t) - h_1^2(t))} - \frac{\text{sign}(h_1(t) - (h_2(t) - h)) k_{11} \sqrt{|h_1(t) - (h_2(t) - h)|}}{\pi(2R_1 h_1(t) - h_1^2(t))}}_{f_{1B}},$$

$$\frac{dh_2(t)}{dt} = \underbrace{\frac{\text{sign}(h_1(t) - (h_2(t) - h)) k_{11} \sqrt{|h_1(t) - (h_2(t) - h)|}}{F_2} - \frac{k_{22} \sqrt{h_2(t)}}{F_2}}_{f_{2B}}$$

rovnovážny stav druhej nádoby systému  
pre *dynamiku B* :  $h_{2s2} = 1,6 \text{ m}$



Obr. 7 Systém – *dynamika B*

## 2. Modelovanie hydraulického systému dvoch nádob s hybridnou dynamikou

Pracovné body pre *dynamiku A* , *dynamiku B*

- 1.)  $u = 0 \rightarrow$  rovnovážny stav
- 2.)  $u \neq 0 \rightarrow$  rovnovážny stav  $\sim$  pracovný bod

Zvolené ustálené hladiny druhej nádoby :

$$h_{2s1} = 1, \quad h_{2s2} = 1,6$$

$\rightarrow$  ustálené hladiny prvej nádoby

$$h_{1s1} = h_{2s1} \left( \frac{k_{22}}{k_{11}} \right)^2, \quad h_{1s2} = h_{2s2} \left( \frac{k_{22}}{k_{11}} \right)^2 + h_{2s2} - h,$$

$\rightarrow$  ustálený prítok

$$q_{0s1} = k_{22} \sqrt{h_{2s1}}, \quad q_{0s2} = k_{22} \sqrt{h_{2s2}},$$

$$\textcolor{red}{PB_A = [h_{1s1}, h_{2s1}, q_{0s1}], \quad PB_B = [h_{1s2}, h_{2s2}, q_{0s2}]}$$

## 2. Modelovanie hydraulického systému dvoch nádob s hybridnou dynamikou

### Lineárna aproximácia

Lineárnu aproximáciu vykonávame za pomocí rozvoja do Taylorovho radu :

$$f_i(x(t), u(t)) \approx f_i(x_s, u_s) + \sum_{k=1}^{n_x} \frac{\partial f_i}{\partial x_k} \Big|_{x_s, u_s} (x(t) - x_{ks}) + \sum_{k=1}^{n_u} \frac{\partial f_i}{\partial u_k} \Big|_{x_s, u_s} (u(t) - u_{ks})$$

Odchýlkový model systému pre zvolený pracovný bod:

$$\Delta \dot{x} = A \Delta x(t) + B \Delta u(t)$$

*pre dynamiku A*  
*pre dynamiku B*

kde  $\Delta x(t) = x(t) - x_s$ ,  $\Delta u(t) = u(t) - u_s$ ,  $A \in R^{(n \times n)}$ ,  $B \in R^{(n \times r)}$

## 2. Modelovanie hydraulického systému dvoch nádob s hybridnou dynamikou

Lineárna aproximácia

*Dynamika A*

$$A_A = \begin{bmatrix} \frac{\partial f_{1A}}{\partial h_1} & \frac{\partial f_{1A}}{\partial h_2} \\ \frac{\partial f_{2A}}{\partial h_1} & \frac{\partial f_{2A}}{\partial h_2} \end{bmatrix}_{PB_A} = \begin{bmatrix} \frac{-k_{11}}{2F_1\sqrt{h_1}} & 0 \\ \frac{k_{11}}{2F_2\sqrt{h_2}} & \frac{-k_{22}}{2F_2\sqrt{h_2}} \end{bmatrix}_{PB_A}$$

$$B_A = \begin{bmatrix} \frac{\partial f_{1A}}{\partial q_0} \\ \frac{\partial f_{2A}}{\partial q_0} \end{bmatrix}_{PB_A} = \begin{bmatrix} \frac{1}{F_1} \\ 0 \end{bmatrix}_{PB_A}$$

$$PB_A = [h_{1s1}, h_{2s1}, q_{0s1}]$$

*Dynamika B*

$$L = h_{1s2} - h_{2s2} + h$$

$$A_B = \begin{bmatrix} \frac{\partial f_{1B}}{\partial h_1} & \frac{\partial f_{1B}}{\partial h_2} \\ \frac{\partial f_{2B}}{\partial h_1} & \frac{\partial f_{2B}}{\partial h_2} \end{bmatrix}_{PB_B} = \begin{bmatrix} \frac{-k_{11}}{2F_{s21}\sqrt{L}} & \frac{k_{11}}{2F_{s21}\sqrt{L}} \\ \frac{k_{11}}{2F_2\sqrt{L}} & -\left(\frac{k_{11}}{2F_2\sqrt{L}} + \frac{-k_{22}}{2F_2\sqrt{h_2}}\right) \end{bmatrix}_{PB_B}$$

$$B_B = \begin{bmatrix} \frac{\partial f_{1B}}{\partial q_0} \\ \frac{\partial f_{2B}}{\partial q_0} \end{bmatrix}_{PB_B} = \begin{bmatrix} \frac{1}{F_1} \\ 0 \end{bmatrix}_{PB_B}$$

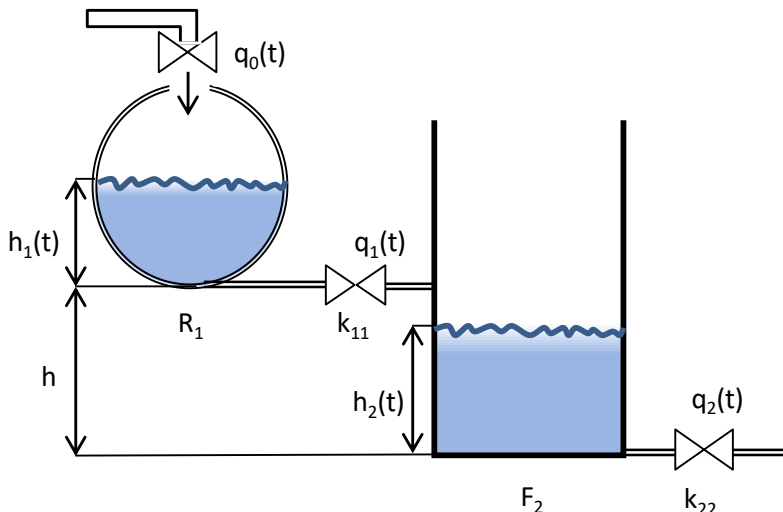
$$PB_B = [h_{1s2}, h_{2s2}, q_{0s2}]$$

## 2. Modelovanie hydraulického systému dvoch nádob s hybridnou dynamikou

HYSDEL

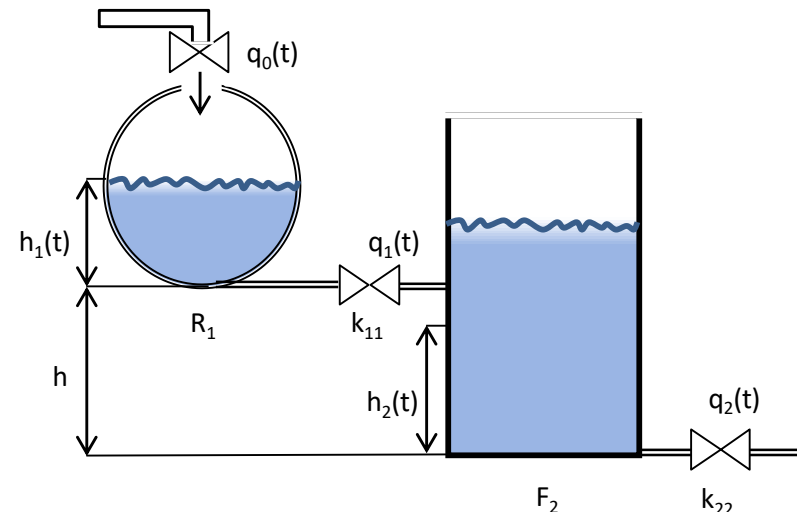
$$\Delta \dot{x}(t) = A \Delta x(t) + B \Delta u(t)$$

$$\Delta x((k+1)T) = F \Delta x(kT) + G \Delta u(kT)$$



Prepínanie  
dynamiky

$$h_2(t) > h$$



MOD 1:

*Dynamika A*  
bez interakcie

MOD 2:

*Dynamika B*  
s interakciou

## 2. Modelovanie hydraulického systému dvoch nádob s hybridnou dynamikou

Diskrétny popis lineárneho modelu hydraulického systému

***dynamika A***

$$\Delta h_1(k + T) = \left(1 - \frac{k_{1b} T}{F_{1s1}}\right) \Delta h_1(k) + \frac{\Delta q_0(k)T}{F_{1s1}}$$

$$\Delta h_2(k + T) = \frac{k_{1b} T}{F_2} \Delta h_1(k) + \left(1 - \frac{k_{2b} T}{F_2}\right) \Delta h_2(k)$$

$$\Delta h_1(k) = h_1 - h_{1s1}, \Delta h_2(k) = h_2 - h_{2s1}, \Delta q_0(k) = q_0 - q_{0s1}$$

Jakobiány  $F, G$  pre diskrétny systém

$$F_A = \begin{bmatrix} -\frac{k_{1b}}{F_{1s1}} & 0 \\ \frac{k_{1b}}{F_2} & -\frac{k_{2b}}{F_2} \end{bmatrix}, \quad G_A = \begin{bmatrix} \frac{1}{F_{1s1}} \\ 0 \end{bmatrix}$$

## 2. Modelovanie hydraulického systému dvoch nádob s hybridnou dynamikou

Diskrétny popis lineárneho modelu hydraulického systému

***dynamika B***

$$\Delta h_1(k + T) = \left(1 - \frac{k_{1s} T}{F_{1s2}}\right) \Delta h_1(k) + \frac{k_{1s} T}{F_{1s2}} \Delta h_2(k) + \frac{\Delta q_0(k) T}{F_{1s2}}$$

$$\Delta h_2(k + T) = \frac{k_{1s} T}{F_{1s2}} \Delta h_1(k) - \left(\frac{k_{1s} T}{F_2} + \frac{k_{2s} T}{F_2} - 1\right) \Delta h_2(k)$$

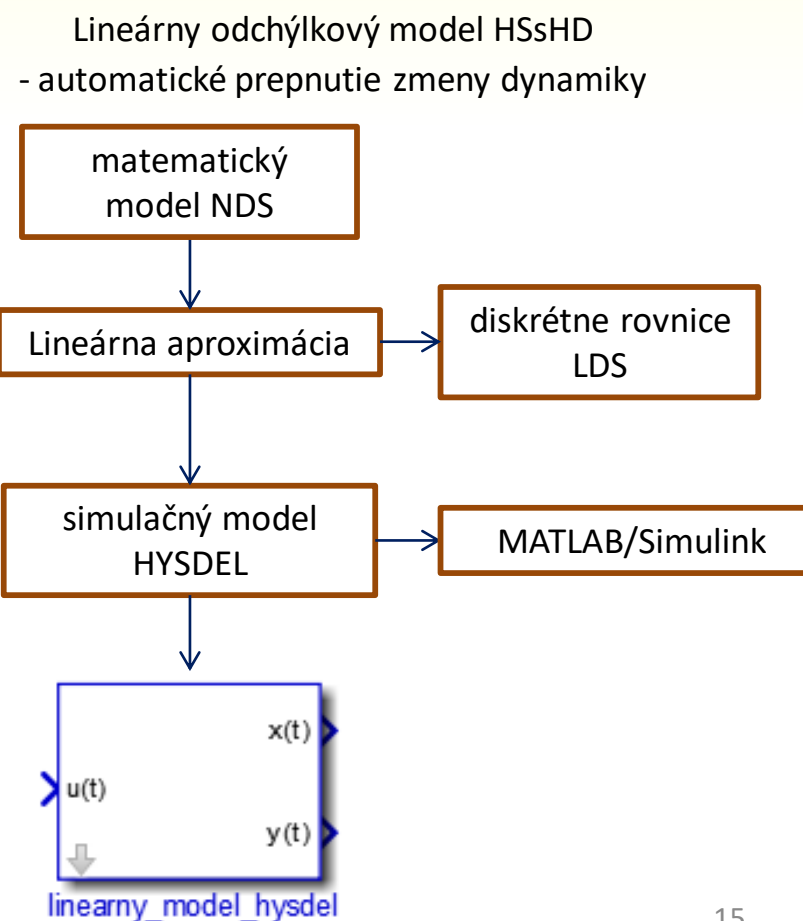
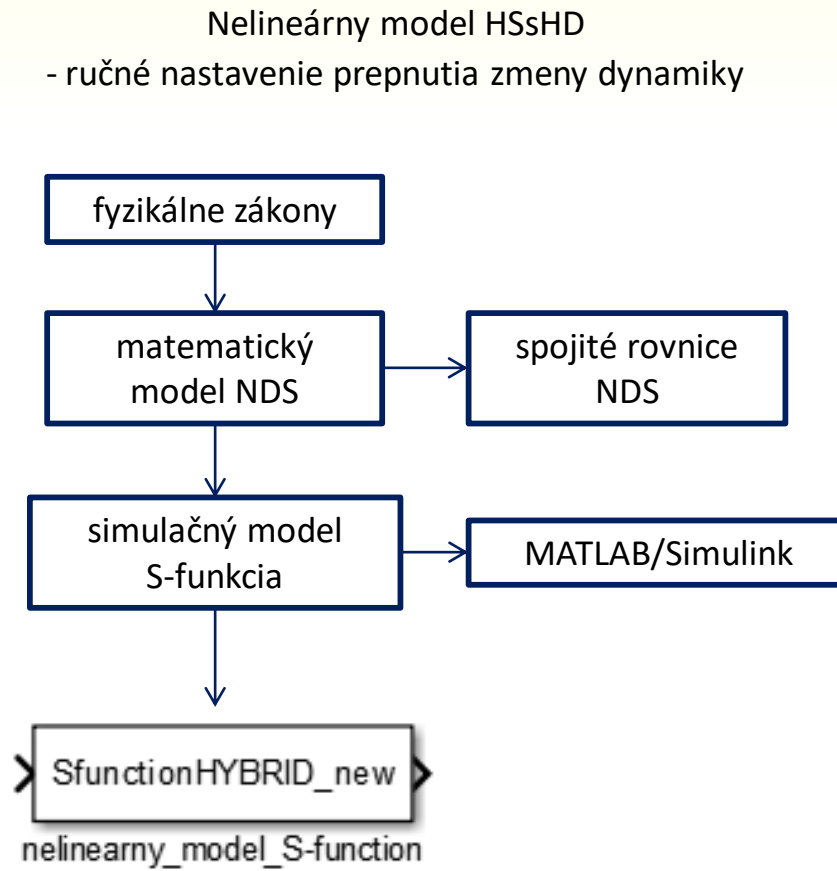
$$\Delta h_1(k) = h_1 - h_{1s2}, \Delta h_2(k) = h_2 - h_{2s2}, \Delta q_0(k) = q_0 - q_{0s2}$$

Jakobiány  $F, G$  pre diskrétny systém pre *dynamiku B*

$$F_B = \begin{bmatrix} -\frac{k_{11}}{2F_{1s2}\sqrt{h_{1s2}-h_{2s2}+h}} & \frac{k_{11}}{2F_{1s2}\sqrt{h_{1s2}-h_{2s2}+h}} \\ \frac{k_{11}}{2F_{1s2}\sqrt{h_{1s2}-h_{2s2}+h}} & -\frac{k_{11}}{2F_{1s2}\sqrt{h_{1s2}-h_{2s2}+h}} - \frac{k_{22}}{2F_2 h_{2s2}} \end{bmatrix}, \quad G_B = \begin{bmatrix} \frac{1}{F_{1s2}} \\ 0 \end{bmatrix}$$

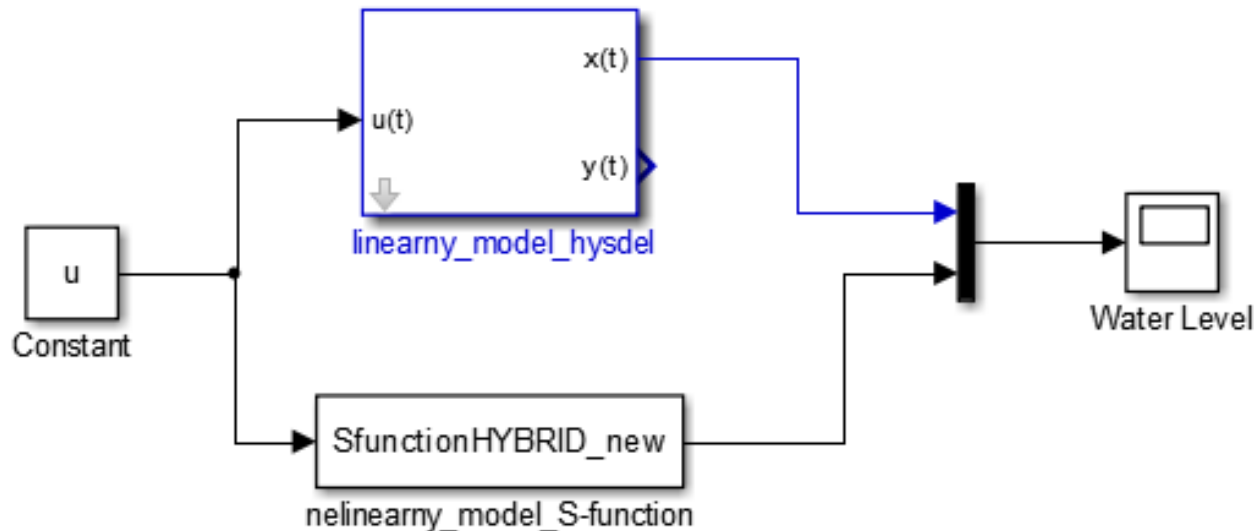
## 2. Modelovanie hydraulického systému dvoch nádob s hybridnou dynamikou

### Porovnanie lineárneho odchýlkového modelu a nelineárneho modelu



### 3. Analýza hydraulického systému dvoch nádob s hybridnou dynamikou

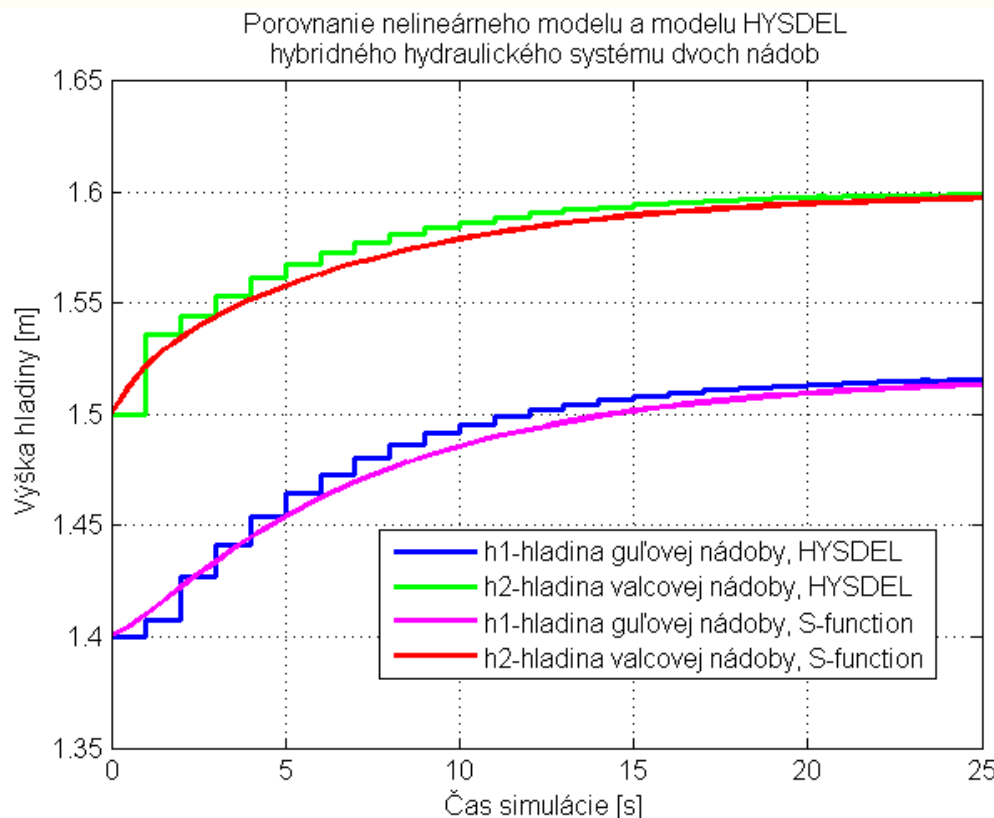
Porovnanie modelov HSsHD v prostredí MATLAB/Simulink



Obr. 8 Schéma nelineárneho modelu v S-funkcii a modelu HYSDEL hydraulického systému dvoch nádob s hybridnou dynamikou

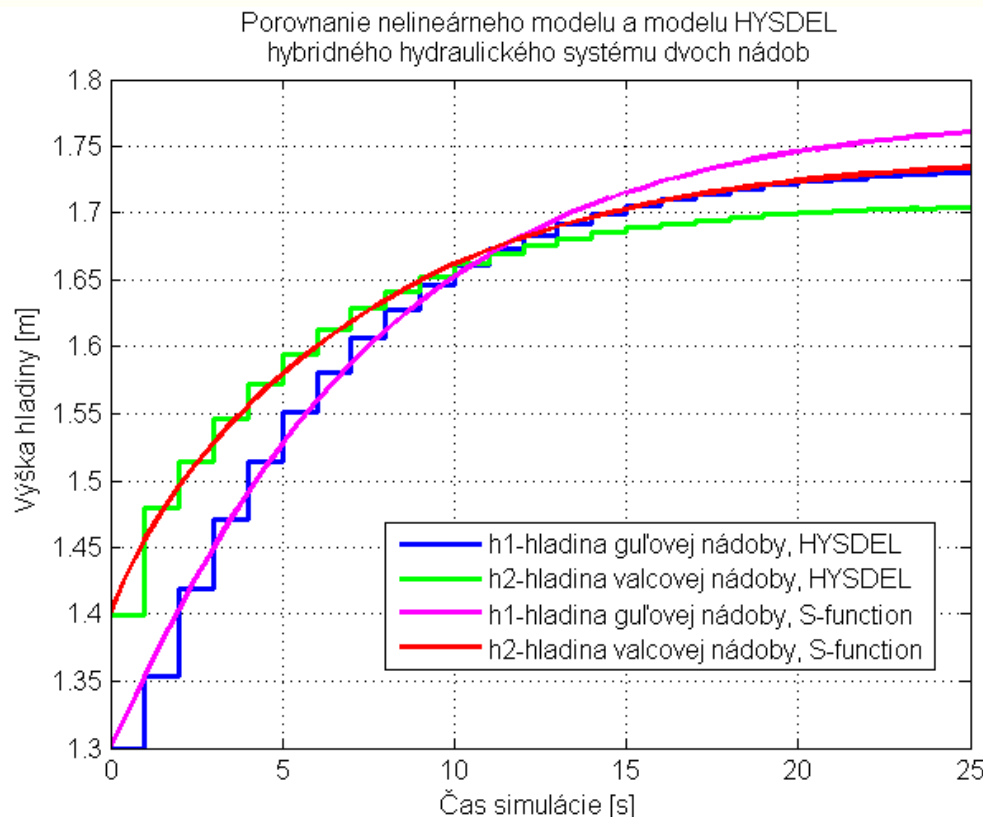
### 3. Analýza hydraulického systému dvoch nádob s hybridnou dynamikou

Časové priebehy výšok hladín HSsHD v *dynamike B* v blízkosti pracovného bodu



### 3. Analýza hydraulického systému dvoch nádob s hybridnou dynamikou

Časové priebehy výšok hladín HSsHD v *dynamike B* mimo pracovného bodu



## 4. Optimálne stavové riadenie hydraulického systému dvoch nádob s hybridnou dynamikou

Cieľom návrhu riadenia je zaistiť v okolí zvoleného pracovného bodu pre jednotlivé dynamiky stabilizáciu zvolenej regulovanej veličiny  $h_2(t)$  v rovnovážnom a ustálenom stave.

Pre získanie požadovaného výstupu - využitie diskrétneho *LQR regulátora* s minimalizovaním kvadratického funkcionálu :

$$J_M = x^T(M)Qx(M) + \sum_{k=0}^{M-1} (x^T(k)Qx(k) + u^T(k)Ru(k))$$

kde  $Q \in R^{mxm}$  a  $R \in R^{rxr}$

## 4. Optimálne stavové riadenie hydraulického systému dvoch nádob s hybridnou dynamikou

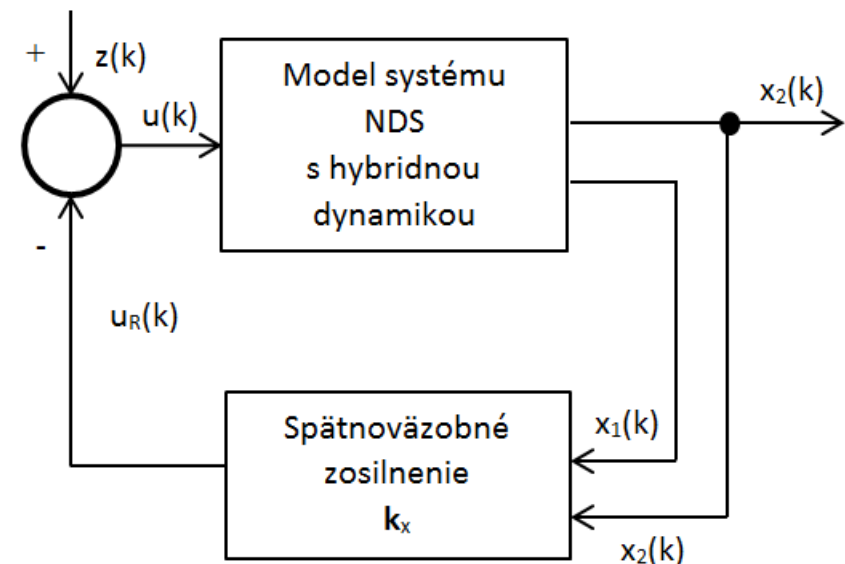
Riadiaca štruktúra stavového riadenia s cieľom riadenia do rovnovážneho stavu

Zákon riadenia do rovnovážneho stavu :

$$\Delta u(k) = -k_x \Delta x(k)$$

Spätnoväzobné zosilnenie:

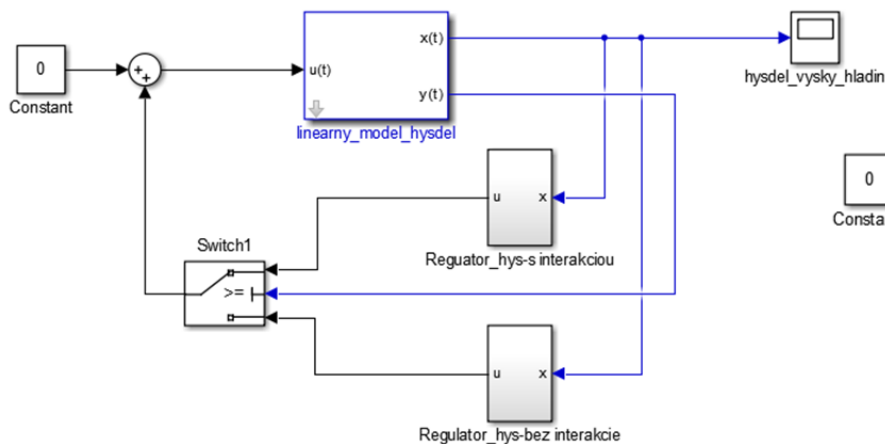
$$k_x(k) = (R + G^T P(k) G)^{-1} G^T P(k) F$$



Obr. 8 Riadiaca štruktúra optimálneho stavového riadenia HSsHD

## 4. Optimálne stavové riadenie hydraulického systému dvoch nádob s hybridnou dynamikou

### Riadenie do rovnovážneho stavu

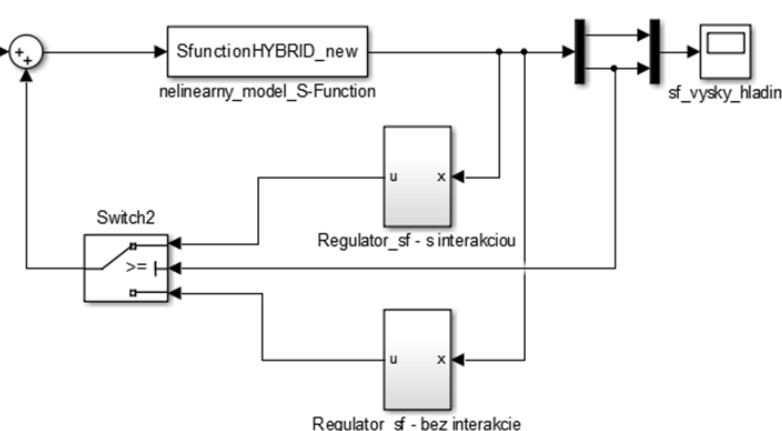


Obr. 9 Regulačná schéma stavového riadenia lineárneho odchýlkového modelu HSsHD - HYSDEL

**zákony riadenia:**

$$\text{dynamika A} \quad \Delta u_A(k) = -k_A \Delta x(k)$$

$$\text{dynamika B} \quad \Delta u_B(k) = -k_B \Delta x(k)$$



Obr. 10 Regulačná schéma stavového riadenia nelineárneho modelu HSsHD – S-funkcia

## 4. Optimálne stavové riadenie hydraulického systému dvoch nádob s hybridnou dynamikou

Graf riadenia do rovnovážneho stavu

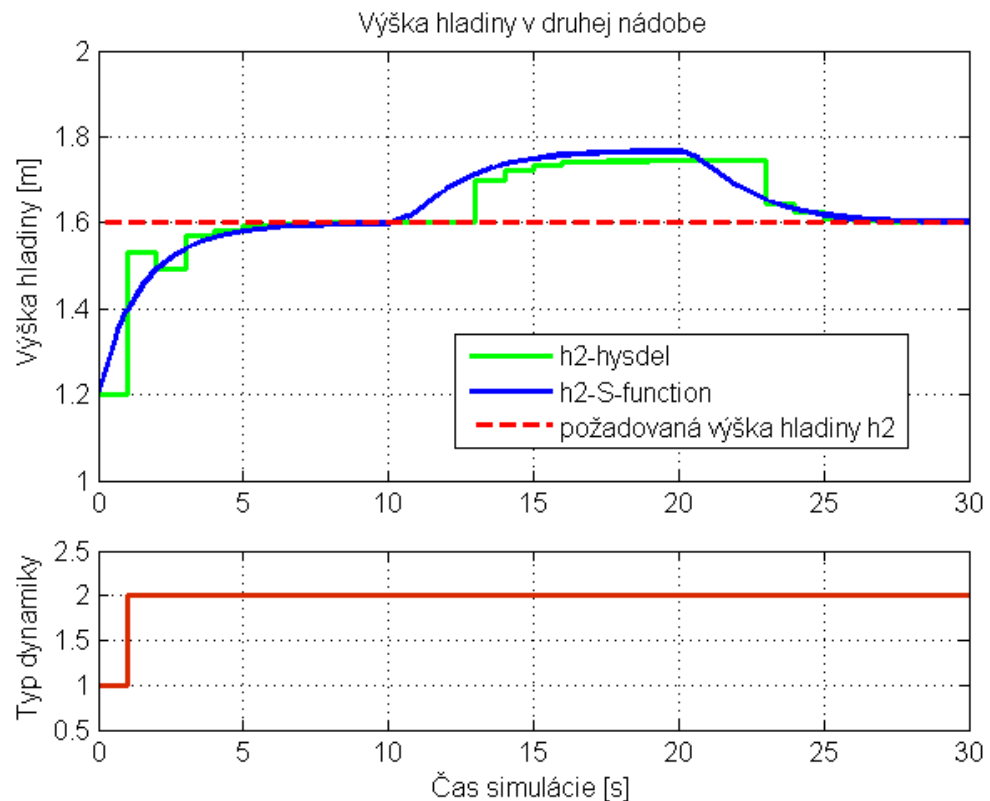
**Dynamika B**

$$h_{2s2} = 1,6 \text{ m}$$

počiatočné  
podmienky = [1.5;1.2]

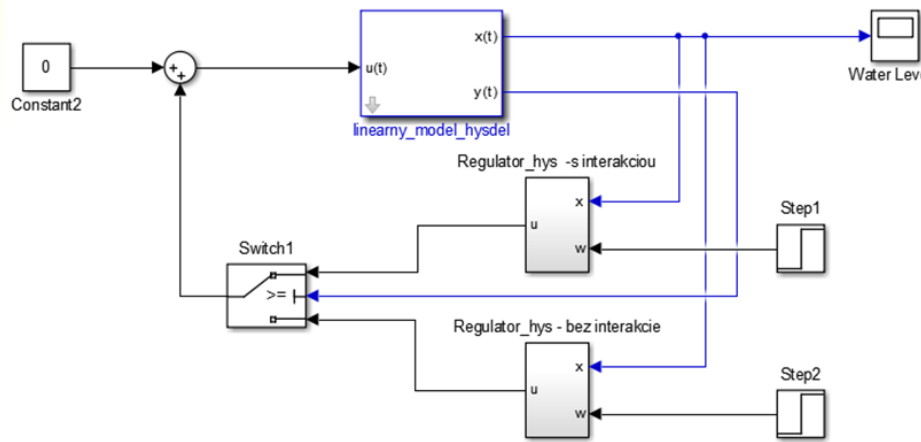
hodnoty matíc funkcionálu :

$$Q = \begin{bmatrix} 10 & 0 \\ 0 & 1 \end{bmatrix}, R = 1$$



## 4. Optimálne stavové riadenie hydraulického systému dvoch nádob s hybridnou dynamikou

### Riadenie na ustálený stav

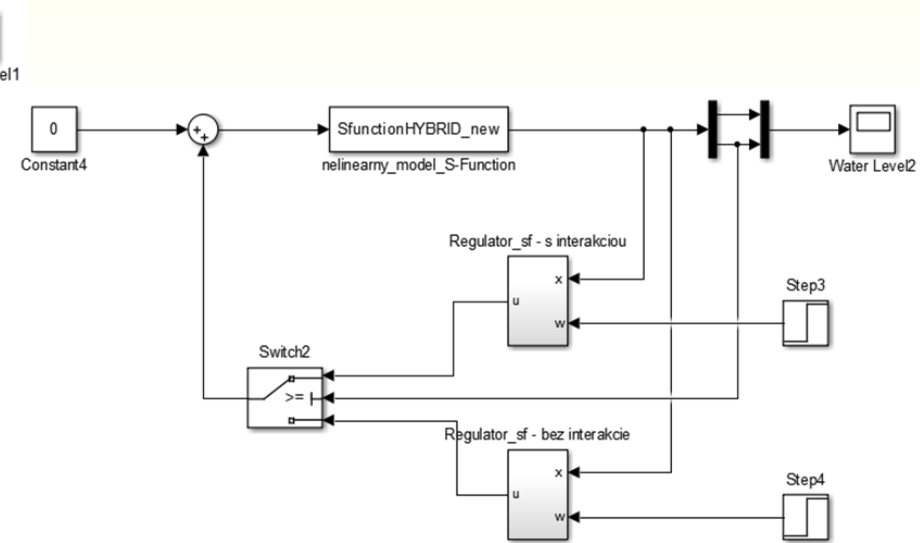


Obr. 11 Regulačná schéma stavového riadenia lineárneho odchýlkového modelu HSsHD - HYSDEL

**zákony riadenia:**

$$\text{dynamika A} \quad \Delta u_A(k) = -k_A \Delta x(k) + N_A \Delta w(k)$$

$$\text{dynamika B} \quad \Delta u_B(k) = -k_B \Delta x(k) + N_B \Delta w(k)$$



Obr. 12 Regulačná schéma stavového riadenia nelineárneho modelu HSsHD – S-funkcia

## 4. Optimálne stavové riadenie hydraulického systému dvoch nádob s hybridnou dynamikou

Graf riadenia na ustálený stav

### Dynamika B

nový ustálený stav:

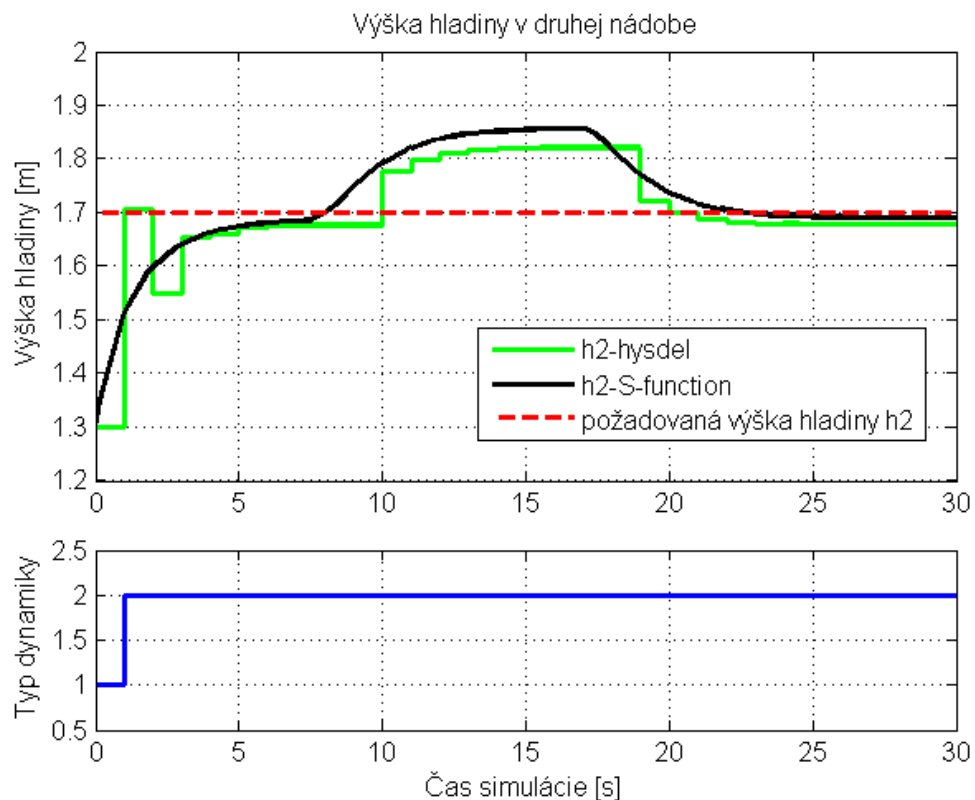
$$h_{2ref} = 1,7 \text{ m}$$

počiatočné

$$\text{podmienky} = [1.7; 1.3]$$

hodnoty matíc funkcionálu :

$$Q = \begin{bmatrix} 10 & 0 \\ 0 & 1 \end{bmatrix}, R = 1$$



## 5. Získané výsledky

- modelovanie nelineárneho dynamického systému s hybridnou dynamikou
  - využité programovanie S-funkcií
- modelovanie lineárneho diskrétneho modelu s hybridnou dynamikou
  - programovanie v prostredí pre popis hybridných systémov HYSDEL
- optimálne riadenie nelineárnych dynamických systémov s hybridnou dynamikou
- výhody využitia prostredia HYSDEL pri riadení dynamických systémov s hybridnou dynamikou
- vytvorenie doplňujúcich materiálov pre cvičenia predmetu Optimálne riadenie hybridných systémov a Simulačné systémy

Ďakujem za pozornosť